

MSX02 - Épreuve de Vibrations

Éléments de correction

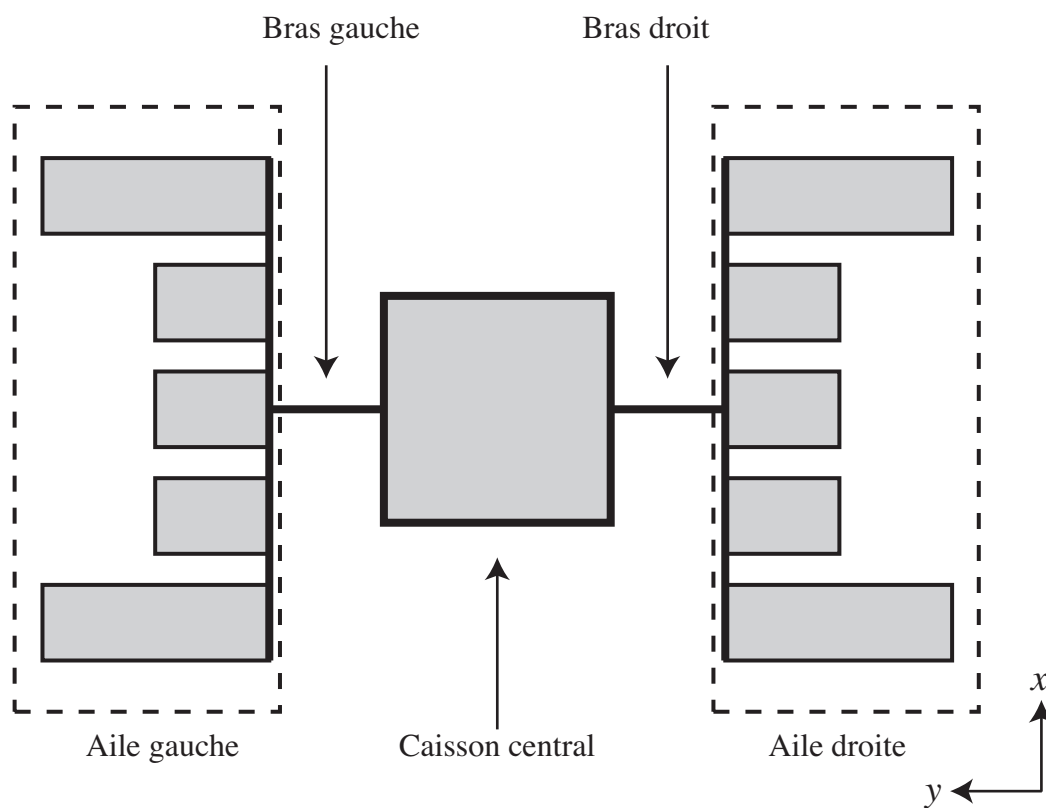


FIG. 1. Structure "satellite" étudiée.

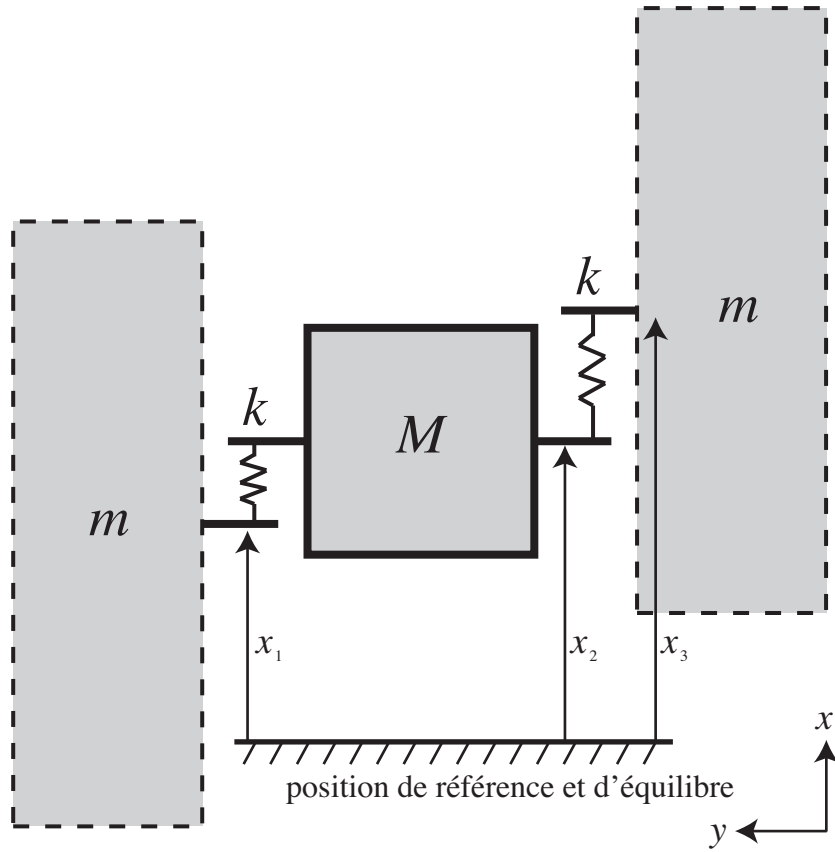


FIG. 2. Modèle global simplifié de la structure étudiée.

Question 1 :

$$\mathcal{V} = \frac{1}{2}k(x_2 - x_1)^2 + \frac{1}{2}k(x_3 - x_2)^2 \quad (1)$$

Question 2 :

$$\mathcal{T} = \frac{1}{2}m\dot{x}_1^2 + \frac{1}{2}M\dot{x}_2^2 + \frac{1}{2}m\dot{x}_3^2 \quad (2)$$

Question 3 : Les équations de Lagrange du système conservatif s'écrivent, en notant le Lagrangien $\mathcal{L} = \mathcal{T} - \mathcal{V}$:

$$\frac{d}{dt}\left(\frac{\partial \mathcal{L}}{\partial \dot{x}_i}\right) - \frac{\partial \mathcal{L}}{\partial x_i} = 0 \quad (3)$$

d'où l'on obtient les équations de mouvement :

$$m\ddot{x}_1 + kx_1 - kx_2 = 0 \quad (4)$$

$$M\ddot{x}_2 - kx_1 + 2kx_2 - kx_3 = 0 \quad (5)$$

$$m\ddot{x}_3 - kx_2 + kx_3 = 0 \quad (6)$$

Question 4 : Les équations de mouvement se mettent sous la forme matricielle suivante :

$$\mathbf{M}\ddot{\underline{X}} + \mathbf{K}\underline{X} = \underline{0} \quad (7)$$

dans laquelle on a :

$$\mathbf{K} = \begin{bmatrix} k & -k & 0 \\ -k & 2k & -k \\ 0 & -k & k \end{bmatrix} \quad \mathbf{M} = \begin{bmatrix} m & 0 & 0 \\ 0 & M & 0 \\ 0 & 0 & m \end{bmatrix} \quad (8)$$

Question 5 : Le problème aux valeurs propres généralisées s'écrit :

$$(\mathbf{K} - \omega^2 \mathbf{M})\underline{X} = \underline{0} \quad (9)$$

Question 6 : Les pulsations propres sont données par :

$$\det(\mathbf{K} - \omega^2 \mathbf{M}) = 0 = \omega^2(k - \omega^2 m)(mM\omega^2 - k(M + 2m)) \quad (10)$$

d'où les 3 fréquences propres :

$$\omega_1 = 0 \quad (11)$$

$$\omega_2 = \sqrt{\frac{k}{m}} \quad (12)$$

$$\omega_3 = \sqrt{\frac{k(M + 2m)}{mM}} \quad (13)$$

$$(14)$$

Question 7 : Les modes propres correspondants sont :

$$\underline{X}_1 = \begin{bmatrix} 1 \\ 1 \\ 1 \end{bmatrix} \quad \underline{X}_2 = \begin{bmatrix} 1 \\ 0 \\ -1 \end{bmatrix} \quad \underline{X}_3 = \begin{bmatrix} 1 \\ \frac{-2m}{M} \\ 1 \end{bmatrix} \quad (15)$$

Question 8 : L'énergie de déformation du mode associé à la fréquence propre nulle est également nulle. On peut par exemple l'obtenir directement en multipliant l'équation aux valeurs propres généralisées par \underline{X}^T :

$$2\mathcal{V}(\underline{X}_1) = \underline{X}_1^T \mathbf{K} \underline{X}_1 = -\omega_1^2 \underline{X}_1^T \mathbf{M} \underline{X}_1 = 0 \quad (16)$$

Ceci vient de ce que ce mode propre est un mode de corps rigide.

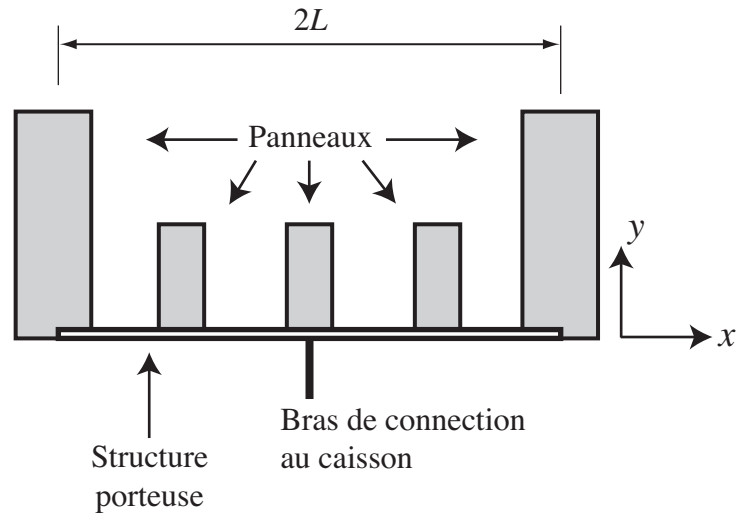


FIG. 3. Structure porteuse supportant les panneaux.

Question 9 :

$$\rho I \ddot{\theta} = \frac{\partial M}{\partial x} \quad \text{équilibre d'un tronçon} \quad (17)$$

$$M = GI \frac{\partial \theta}{\partial x} \quad \text{relation de comportement} \quad (18)$$

(19)

Question 10 : On obtient immédiatement

$$\frac{\partial^2 \theta}{\partial x^2} - \frac{\rho}{G} \frac{\partial^2 \theta}{\partial t^2} = 0 \quad (20)$$

Question 11 : Il s'agit d'une équation de D'Alembert dans laquelle la célérité des ondes est donnée par :

$$c_0 = \sqrt{\frac{G}{\rho}} \quad (21)$$

Question 12 : La célérité des ondes de traction-compression dans une barre est donnée par :

$$c_L = \sqrt{\frac{E}{\rho}} \quad (22)$$

En utilisant la relation classique $G = \frac{E}{2(1+\nu)}$ on obtient :

$$\frac{c_0}{c_L} = \frac{1}{\sqrt{2(1+\nu)}} \simeq \sqrt{\frac{1}{2,6}} \quad (23)$$

Les ondes de torsion sont donc plus lentes que les ondes longitudinales.

Question 13 : En décomposant $\theta(x, t)$ en onde stationnaire dans l'équation d'onde on obtient une équation sur f et une équation sur g :

$$f'' + k^2 f = 0 \quad (24)$$

$$g'' + \omega^2 g = 0 \quad (25)$$

Question 14 : La forme générale des solutions f et g est (par exemple) :

$$f(x) = A \cos(kx) + B \sin(kx) \quad (26)$$

$$g(t) = C \cos(\omega t) + D \sin(\omega t) \quad (27)$$

La relation de dispersion relie la pulsation (temporelle) au vecteur d'onde :

$$k^2 = \frac{\omega^2}{c^2} \quad (28)$$

Question 15 : Il faut 2 conditions limites (pour f) et deux conditions initiales (pour g) pour pouvoir résoudre complètement le problème. Ceci est lié à la nature des équations différentielles vérifiées par f et g (EDL d'ordre 2).

1^{er} modèle

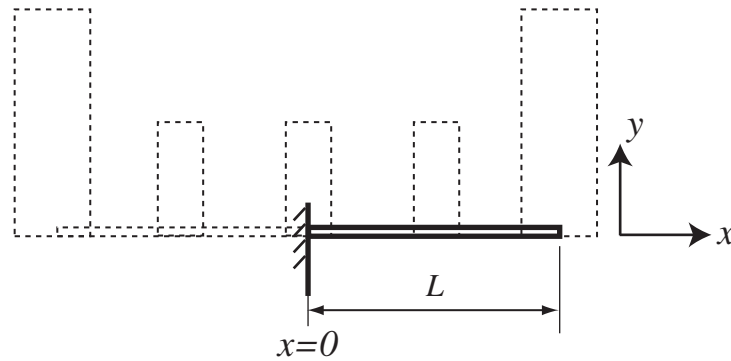


FIG. 4. Premier modèle : les panneaux sont négligés.

Question 16 :

$$\theta(0, t) = 0 \quad (\text{encastrement}) \quad (29)$$

$$\theta_{,x}(L, t) = 0 \quad (\text{bord libre}) \quad (30)$$

Question 17 : On obtient successivement k par les conditions limites puis ω par la relation de dispersion :

$$k_n = \left(n + \frac{1}{2}\right) \frac{\pi}{L} \quad \omega_n = \left(n + \frac{1}{2}\right) \frac{c_0 \pi}{L} \quad (31)$$

2^e modèle

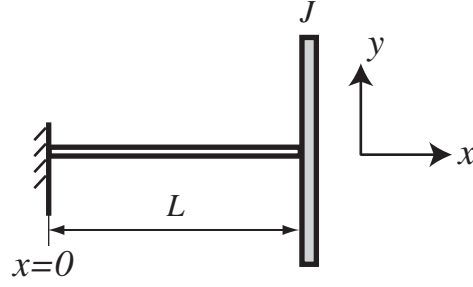


FIG. 5. Deuxième modèle : les panneaux internes sont négligés, les panneaux externes sont assimilés à une inertie J .

Question 18 : Il suffit d'isoler le "volant d'inertie" en $x = L$ et d'appliquer le PFD :

$$J\ddot{\theta}(L, t) = -M(L, t) = -GI\theta_{,x}(L, t) \quad (32)$$

d'où la valeur de β :

$$\beta = \frac{GI}{J} \quad (33)$$

Question 19 : En utilisant les deux conditions aux limites et la relation de dispersion on obtient :

$$k L \tan(k L) = \frac{GIL}{Jc_0^2} \quad (34)$$

d'où la valeur de α :

$$\alpha = \frac{GIL}{Jc_0^2} = \beta \frac{L}{c_0^2} \quad (35)$$

Question 20 : Le fait d'utiliser un modèle dans lequel le milieu de l'aile est encastré aboutit à sélectionner dès le départ uniquement les **modes symétriques**. En effet, les modes antisymétriques ont une composante non nulle au milieu de l'aile. Ils ne peuvent donc pas être obtenus par ce modèle.